

В работе [2] показано, что пространственное разрешение данного корреляционного преобразователя порядка нескольких микрон. Исследование ГФ на гетероструктуре  $n$ -ZnSe— $p$ -GaAs показали, что однородность фотоотклика находится в пределах 5 % для образцов площадью 1 см<sup>2</sup>.

Таким образом, данный ГФ может вырабатывать сигнал, пропорциональный пространственной корреляционной функции с высоким пространственным разрешением, и его можно использовать для систем обработки изображений и распознавания образов.

В заключение авторы выражают благодарность А. М. Прохорову за внимание и интерес к работе.

### Список литературы

- [1] Zhuk B. V., Zhukov I. A., Zlenko A. A. // Sol. St. Electron. 1986. Vol. 29. N 2. P. 247—251.  
[2] Жук Б. В., Жуков И. А., Зленко А. А. и др. // КСФ. 1987. № 7, С. 10—12.

Институт общей физики АН СССР  
Москва

Поступило в Редакцию  
14 марта 1988 г.

В окончательной редакции  
12 июня 1989 г.

01; 06; 07

Журнал технической физики, т. 60, в. 4, 1990

© 1990 г.

## К ТЕОРИИ ПЛАНАРНОГО ВОЛНОВОДНОГО РАЗДЕЛИТЕЛЯ СПЕКТРАЛЬНЫХ КАНАЛОВ

A. C. Старков

В данной работе рассмотрен планарный волноводный разделитель спектральных каналов, основанный на эффекте модовой отсечки в несимметричных диэлектрических волноводах. По условиям распространения излучения необходимо, чтобы толщина волноводного слоя была больше критической толщины для данной моды. При нарушении этого условия волноводная мода переходит в расходящийся в подложке цилиндрический пучок [1], т. е. происходит отсечка излучения. Критическая толщина волновода зависит как от индекса моды, так и от длины волны излучения.

Использование основной доли энергии, распространяющейся в материале подложки, затруднено из-за близости оси пучка к границе сред. Для устранения этого недостатка в работе [2] было предложено участок с плавно уменьшающейся толщиной делать в виде планарного несимметричного волновода, изогнутого по окружности медленно изменяющегося радиуса  $R$ . В таком волноводе излучение с длиной волны  $\lambda$  после отсечки в точке  $s$  будет распространяться почти по касательной к изогнутому участку и на некотором удалении от точки  $s$  не будет зависеть от волноводного слоя.

Главной целью настоящей работы является получение диаграммы направленности волны, вышедшей из критического сечения.

Конфигурация волновода показана на рис. 1. В системе координат  $s, v$ , где  $s$  — длина дуги кривой  $S$ , отсчитываемая от некоторой точки;  $v$  — длина нормали к  $S$ ; кривая  $S_1$  может быть задана уравнением  $v = -h(s) > 0$ . Толщина волновода  $h(s)$  предполагается плавно уменьшающейся величиной

$$h'(s) < 0, \quad p = \max |h'(s)| \ll 1.$$

Показатели преломления подложки  $n_1$  ( $v > 0$ ), слоя  $n_2$  ( $0 > v > -h(s)$ ) и окружающей среды  $n_3$  ( $v > -h(s)$ ) считаем связанными соотношением  $n_2 > n_1 > n_3$ .

Как известно, поля  $E$  и  $H$  для рассматриваемой задачи выражаются через скалярные функции  $u_i(s, v)$  ( $i=1, 2, 3$ ), удовлетворяющие в среде с номером  $i$  уравнению

$$(\Delta + k^2 n_i^2) u_i = 0, \quad (1)$$

а условия непрерывности касательных компонент приводят к граничным условиям на границах раздела

$$u_1|_S = u|_S, \left(\frac{n_2}{n_1}\right)^r \frac{\partial u_1}{\partial v}|_S = \frac{\partial u_2}{\partial v}|_S,$$

$$u_2|_{S_1} = u_3|_{S_1}, \left(\frac{n_2}{n_3}\right)^r \frac{\partial u_2}{\partial v_1}|_{S_1} = \left(\frac{n_2}{n_3}\right)^r \frac{\partial u_3}{\partial v_1}|_{S_1}, \quad (2)$$

где  $k$  — волновое число,  $\Delta$  — оператор Лапласа,  $\partial/\partial v_1$  — производная по нормали к  $S_1$ , а  $r=0$  для  $S$ -поляризации и  $r=2$  для  $P$ -поляризации.

Наличие малого параметра  $r$  позволяет при решении задачи (1), (2) применять асимптотические методы. Главный член асимптотического разложения волновой моды с индексом  $m$

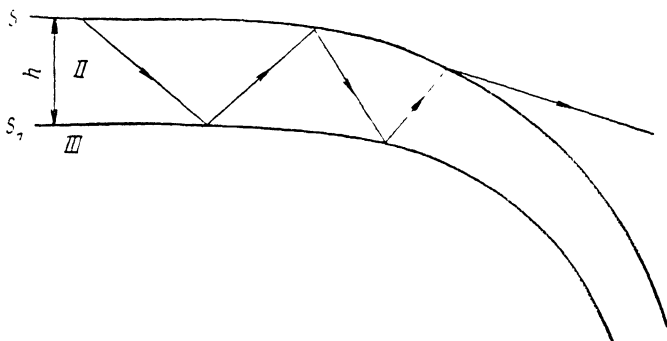


Рис. 1.

1 — подложка, 2 — слой, 3 — окружающая среда.

будем отыскивать в виде, характерном для волноводов с медленно меняющимися параметрами,

$$\begin{aligned} u_1(s, v) &= A(s) \exp \left[ ik \int \beta_m(s) ds - kq_1(s)v \right], \\ u_2(s, v) &= A(s) \left[ \cos q_2(s)v + \left( \frac{n_2}{n_1} \right)^r \frac{q_1(s)}{q_2(s)} \sin q_2(s)v \right] \exp \left[ ik \int \overline{\beta_m(s)} ds \right], \\ u_3(s, v) &= A(s) \left[ \cos d(s) + \left( \frac{n_2}{n_1} \right)^r \frac{q_1(s)}{q_2(s)} \sin d(s) \right] \times \\ &\quad \times \exp \left[ ik \int \beta_m(s) ds + kq_3(s)(v + h(s)) \right], \end{aligned} \quad (3)$$

где  $q_1(s) = \sqrt{\beta_m^2(s) - n_1^2}$ ,  $q_2(s) = \sqrt{n_2^2 - \beta_m^2(s)}$ ,  $q_3(s) = \sqrt{\beta_m^2(s) - n_3^2}$ ,  $d(s) = kh(s)q_2(s)$ , а  $\beta_m(s)$  является корнем дисперсионного уравнения

$$\operatorname{tg} d = \operatorname{tg} (\varphi_1 + \varphi_2), \quad \operatorname{tg} \varphi_1 = \frac{q_1}{q_2} \left( \frac{n_2}{n_1} \right)^r, \quad \operatorname{tg} \varphi_2 = \frac{q_3}{q_2} \left( \frac{n_2}{n_1} \right)^r.$$

Амплитудный множитель находится из закона сохранения энергии в поперечном сечении и оказывается равным

$$\begin{aligned} A(s) &= \frac{A_0}{\sqrt{\beta_m}} \left\{ \frac{1}{2q_1 n_1^{r/2}} + \frac{1}{2q_3 n_3^{r/2}} \left[ \cos d + \left( \frac{n_2}{n_1} \right)^r \frac{q_1}{q_2} \sin d \right]^2 + \right. \\ &\quad \left. + \frac{1}{n_2^{r/2}} \left[ \frac{kh}{2} + \frac{\sin 2d}{4q_2} + \left( \frac{kh}{2} - \frac{\sin 2d}{4q_2} \right) \left( \frac{n_2}{n_1} \right)^{2r} \left( \frac{q_1}{q_2} \right)^2 + q_1 \frac{\sin^2 d}{q_2^2} \left( \frac{n_2}{n_1} \right)^r \right] \right\}^{-1/2}, \end{aligned}$$

где  $A_0$  — произвольный постоянный множитель.

В дальнейшем будем рассматривать только поле в подложке ( $v > 0$ ).

Пусть в точке  $s=s_1$  толщина принимает критическое для моды с индексом  $m$  значение  $h_m$ , такое что

$$\operatorname{tg} d(s_1) = \left( \frac{n_2}{n_1} \right)^r \frac{q_3(s_1)}{q_2(s_1)}$$

и ( $h_1 \equiv h(s_1) > 0$ ) волновод является сужающимся. В окрестности точки  $s_1$  сколь угодно плавное изменение наклона границы  $S_1$  приводит к бесконечно быстрому изменению ампли-

туды  $A(s) = A_0 \cdot n_1^{r/4} \cdot \sqrt{2kn_1 L(s-s_1)} [1 + 0(s-s_1)]$ ,  $L \equiv h_1(n_1/n_2)^r \sqrt{(n_2^2/n_1^2) - 1} \ll 1$ , что противоречит условию применимости асимптотики (3).

Методы нахождения локальной асимптотики в окрестности критических сечений указаны в [1, 8]. В растянутых координатах

$$t = \frac{1}{2} kn_1(s-s_1)L^{1/3}, \quad y = kL^{1/3}n_1v$$

эта асимптотика для данной задачи имеет вид

$$u_1(t, y) = a_0 \exp[ikn_1(s-s_1)] \int_{-\infty}^{\infty} e^{i\frac{\lambda^{3/2}}{3} + i\lambda t - y\sqrt{\lambda}} d\lambda, \\ a_0 = \frac{A_0 e^{-i(\pi/4)}}{\sqrt{\pi}} n_1^{r/4} L^{1/4}. \quad (4)$$

Асимптотика (4) применима только при малых  $t$  и  $y$ . При конечных  $t$  и  $y$  учет кривизны границы [4] приводит к формуле

$$u_1 = a_0 \exp[ikn_1(s-s_1)] \int_{-\infty}^{\infty} e^{i(\lambda/3)^2 t + i\lambda t} \frac{w_1\left(\frac{1}{2}g^2\lambda + \frac{2y}{g}\right)}{w_1\left(\frac{1}{2}g^2\lambda\right)} d\lambda, \quad (5)$$

где  $g = (2kn_1 L R_1)^{1/3}$ ,  $R_1 = R(s_1)$ ,  $w_1$  — функция Эйри [4].

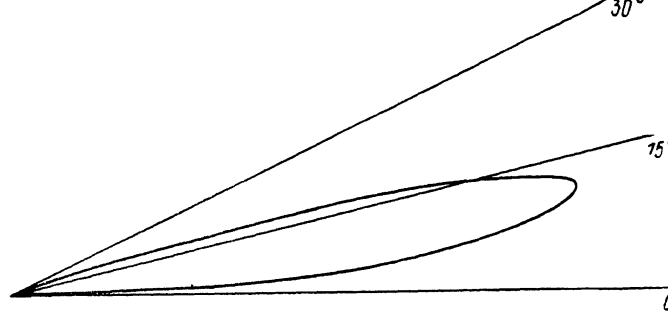


Рис. 2.

Вдали от критического сечения при больших положительных  $t$  интеграл (5) может быть приближенно вычислен по методу стационарной фазы [4]. В результате вычислений получаем следующую формулу:

$$u_1 \approx \frac{-iA_0 v}{\sqrt{kn_1 L(s-s_1)^3}} \exp \left\{ ikn_1 \left[ s - s_1 + \frac{v^2}{s-s_1} + \frac{v(s-s_1)}{R_1} - \frac{(s-s_1)^3}{6R_1^2} \right] - \frac{v^3}{3L(s-s_1)} \right\}. \quad (6)$$

При выводе формулы (6) предполагалось, что  $v \ll s-s_1 \ll R_1$ . При удалении от границы  $S$  по нормали амплитуда волны начинает быстро убывать, т. е. при прохождении критического сечения образуется достаточно узкий пучок излучения.

Для того чтобы определить точное направление излучения энергии, перейдем в полярную систему координат  $(\rho, \varphi)$  с полюсом в точке  $(s_1, 0)$ , направив полярную ось  $\varphi=0$  по касательной к кривой  $S$ . В этих координатах амплитуда волнового поля имеет вид

$$|u_1| \approx \frac{A_0 \operatorname{tg} \varphi}{\sqrt{kn_1 L \rho}} \exp \left( -\frac{\operatorname{tg}^3 \varphi}{3L} \right) \approx \frac{A_0 \varphi}{\sqrt{kn_1 L \rho}} \exp \left( -\frac{\varphi^3}{3L} \right) \quad (7)$$

и достигает наибольшего значения при  $\varphi=L^{1/3}$ . Следовательно, вышедший из критического сечения пучок распространяется под малым углом  $L^{1/3}$  к касательной. При углах  $\varphi_1 = 0.53L^{1/3}$  и  $\varphi_2 = 1.47L^{1/3}$  функция (7) принимает половину своего максимального значения, значит, ширина пучка равна  $0.94L^{1/3} \ll 1$ .

На рис. 2 представлена диаграмма направленности излучения в случае  $S$  поляризации при  $n_2=1, 6$ ;  $n_1=1, 4$ ;  $n_3=1$ , когда угол между касательными к границам  $S$  и  $S_1$  равен  $1^\circ$ :  $h_1=\tan 1^\circ$ .

Таким образом, в работе получены формулы, описывающие распространение волноводных мод в изогнутом волноводе до критического сечения (3), в критическом сечении (5) и расходящейся из критического сечения цилиндрической волны (6) с узкой диаграммой направленности.

### Список литературы

- [1] Dendane A., Arnold J. M. // IEEE J. Quantum Electron. 1986. Vol. 22. N 9. P. 1551—1556.
- [2] Дерягин В. Н., Попов Ю. В., Скитеева Л. А. и др. // Изв. АН СССР. Сер. физ. 1988. Т. 52. № 3. С. 526—528.
- [3] Старков А. С. // Математические вопросы теории распространения волн. Л.: Наука, 1987. Т. 165. Вып. 17. С. 166—176.
- [4] Фок В. А. Проблемы дифракции и распространения электромагнитных волн. М.: Сов. радио, 1970.

Ленинградский  
технологический институт  
холодильной промышленности

Поступило в Редакцию  
17 ноября 1988 г.  
В окончательной редакции  
2 июля 1989 г.

01; 10

Журнал технической физики, т. 60, в. 4, 1990

© 1990 г.

## СПИРАЛЬНАЯ АХРОМАТИЧЕСКАЯ ФОКУСИРОВКА ПУЧКА ЗАРЯЖЕННЫХ ЧАСТИЦ

А. С. Артамонов, Я. С. Дербенев, Н. И. Иноземцев

1. В работе [1] было обращено внимание на возможность компенсации угловой дисперсии продольных скоростей пучка заряженных частиц, движущегося в линейной структуре с периодическим магнитным полем. Этот вопрос важен для применений, требующих высокой монохроматичности продольного движения частиц, к ним относится генерация когерентного микроволнового излучения ультраквадрупольными электронами в ондуляторах. Для случая движения в спиральном ондуляторе с продольным магнитным полем соленоида в [1] в численном виде установлена связь параметров, при которой происходит указанная компенсация. В данной работе рассматривается случай спирального поля более общего вида (в отсутствие соленоида), содержащего квадрупольную гармонику, обеспечивающую жесткую фокусировку пучка. Результаты работы в совокупности с результатами [1] обсуждаются применительно к задаче генерации микроволнового излучения.

2. Стационарное магнитное поле спиральной симметрии в общем случае описывается векторным потенциалом (во внутренней области, свободной от создающих токов)

$$\begin{aligned} A_\rho &= \frac{1}{2iz^2\rho} \sum_{n>0} A_n I_n(nz\rho) e^{in\psi} + \text{к. с.}, \\ A_\varphi &= \frac{1}{2z} \sum_{n>0} A_n I'_n(nz\rho) e^{in\psi} + \text{к. с.}, \\ A_z &= 0, \quad \psi = \varphi - kz, \end{aligned} \quad (1)$$

где  $z=2\pi/\lambda$ ;  $\lambda$  — период структуры;  $\rho, \varphi, z$  — цилиндрические координаты;  $I_n$  — модифицированные функции Бесселя целого порядка;  $A_n$  — произвольные комплексные постоянные. Здесь для упрощения ограничимся условием, что все  $A_n$  действительные.

Случай спирального ондулятора (в соленоиде), рассмотренный в [1], соответствует условиям, когда все четные гармоники (т. е. квадрупольные и более высокие) отсутствуют ( $A_{2n}=0$ ), а нечетные равны